

Os indígenas da etnia Sateré-Mawé, residentes da Amazônia, são conhecidos pelo ritual Waumat - *um rito cultural masculino de passagem da infância para a vida adulta*. Em tal cerimônia, os rapazes calçam luvas de palha contendo **formigas tucandeiras** (*Paraponera clavata*) e precisam aguentar as ferroadas inúmeras vezes. Os que passam no teste são reconhecidos como guerreiros.



Figura 1: Uma etapa do Ritual Waumat

# A captura das formigas para o ritual: conexões Químicas

# Por que as formigas não escapam quando colocadas na luva?

As tucandeiras são anestesiadas com um extrato produzido a partir de folhas trituradas de caju (*Anacardium occidentale*) em água.



Figura 2: Luva do ritual.



Figura 3: Tucandeira (Paraponera clavata)



Quais os componentes químicos da Folha do Caju?

Os compostos fenólicos "flavonoides e taninos" são os principais grupos químicos presentes.

### ,Características químicas dos Flavonoides

Eles são pigmentos naturais responsáveis pela coloração e possuem estrutura **polifenólica**.

Compostos polifenólicos possuem uma ou mais hidroxilas (-OH) ligadas a um ou mais anéis aromáticos.

Concentram-se em sementes, frutos, cascas, raízes, folhas e flores. São usadas pelos vegetais para crescimento e proteção contra microorganismos.

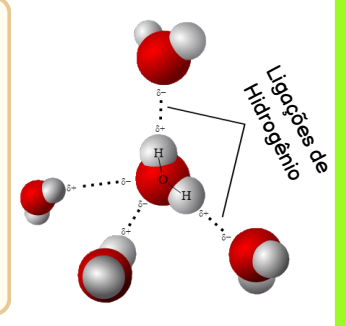
### , Características químicas dos Taninos 🗍

 Em contato com a saliva, eles precipitam proteínas que causam uma sensação de adstringência (aperto) ao paladar.

- São solúveis em água e em solventes orgânicos polares (ex: álcool e acetona).
- São muito reativos quimicamente: formam ligações (pontes) de hidrogênio intra e intermolecular.

### Ligações de Hidrogênio

são o tipo de força intermolecular mais forte, formadas por um hidrogênio ligado ao flúor, oxigênio ou nitrogênio.



 São classificados como hidrolisáveis ou condensáveis, de acordo com seu esqueleto de carbono

### a) Hidrolisáveis:

São hidrolisados por ácidos, bases e certas enzimas.

b) Condensados: são as principais moléculas adstringentes sendo o flavan-3-ol e flavan-3,4-diol presentes em maior proporção no Caju.

# A ferroada das Tucandeiras

As formigas tucandeiras possuem uma toxina (poneratoxina), liberada em suas ferroadas, que ataca o sistema nervoso central da vítima.



As ferroadas de insetos e aracnídeos são classificados conforme o Índice de Schmidt.

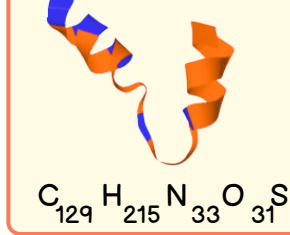
### Você sabia?

O Índice de Schmidt classifica o **nível de dor** da ferroada em uma escala de 1 a 4, sendo a das tucandeiras muito dolorosa por ter o nível (4+). A dor pode durar até 24 horas, além de aparecerem sintomas como febre, tremores, suor frio, náuseas, vômitos e até arritmia cardíaca.

Schimidt descreveu a ferroada da tucandeira: "É como andar sobre brasas com pregos de cinco centímetros enfiados sob as solas dos seus pés".



# Poneratoxina



É um peptideo neurotóxico paralisante, em forma de V, produzido pelas Tucandeiras.

Essa toxina possui um estrutura hélice-voltahélice que é importante para a interação com membrana celular.

A ação da Poneratoxina

### C-terminal alfa-hélice N-terminal alfa-hélice Polar e hidrofílica Bicamada lipídica Apolar e Hidrofóbica

Figura 4: Poneratoxina inserida na membrana plasmática

### Vamos entender quimicamente este processo!?

O N-terminal alfa hélice é apolar com o centro majoritariamente hidrofóbico e o C-terminal é anfipático (polar).

Na Figura 4, o lado apolar/hidrofóbico (cor laranja) e o outro é polar/hidrofílico (cor azul) . Isso impulsiona a inserção na membrana plasmática devido a afinidade com a bicamada.

### A poneratoxina tem caráter anfipático

Anfipático: molécula hidrofílica e hidrofóbica

## Hidrofílico:

polar, solúvel em meio aquoso

#### Hidrofóbico:

apolar, insolúvel em água, porém solúvel em lipídios e solventes orgânicos

#### Canal de Sódio + Poneratoxina: DOR



íon Sódio (cátion)

Os canais de sódio são proteínas integrais da membrana permitem a entrada seletiva de sódio nas células. No repouso eles se encontram em um estado fechado não condutor.

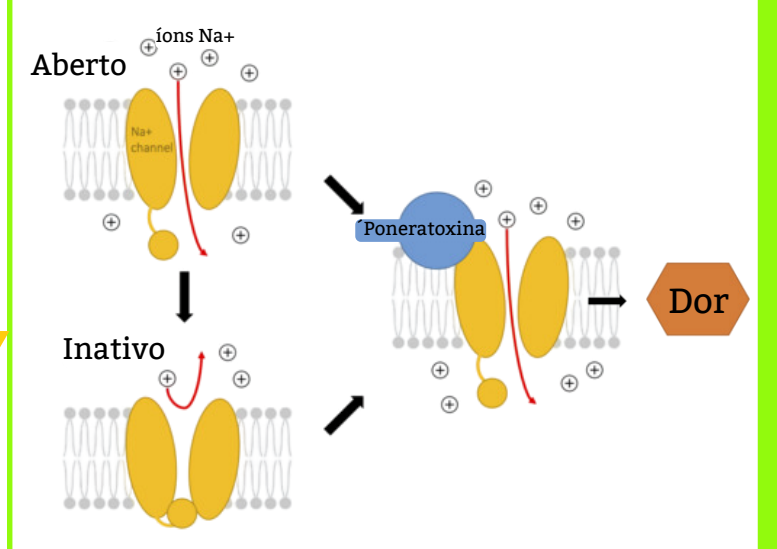


Figura 5: A Poneratoxina na Membrana Celular

Os canais de sódio antes inativos são forçados a permanecer abertos e ativos quando ocorre a ligação com a toxina. Leva ao prolongamento de potencias de ação associados a dor.

# REFERÊNCIAS

BARBOSA, P, et al. Avaliação do teor de flavonoides em extrato do bagaço do pedúnculo do caju obtido por maceração enzimática. *In:* COBEQ, n°18, 2010 p. 1-7. ISSN: 2178-3659. 2010. Disponível em: https://ainfo.cnptia.embrapa.br/digital/bitstream/item/34082/1/AT10109.pdf. Acesso em: 17 de outubro de 2023.

CASTEJON, F. **Taninos e Saponinas**. Universidade Federal de Goiás, Goiânia, p.1-29; 2011. Disponível em: https://files.cercomp.ufg.br/

GOUGH, Z. Conheça o homem que se tornou 'sommelier' de picadas de insetos. BBC, 2015.

Disponível em:

https://www.bbc.com/portuguese/noticias/2015/03/150316\_vert\_earth\_dor\_picadas\_insetos\_ml. Acesso em: 4 de novembro de 2023.

JOHNSON, S.R; RIKLI, H.G; SCHMIDT, J.O; EVANS, M.S. **A reexamination of poneratoxin from the venom of the bullet ant** *Paraponera clavata.* Peptides, v. 98, p. 51-62, 2017. Disponível em: https://www.sciencedirect.com/science/article/abs/pii/S019697811630119X. Acesso em: 15 de novembro de 2023.

MONTEIRO, J. Taninos: uma abordagem da química à ecologia. Química Nova, nov. 2005. Disponível em: https://doi.org/10.1590/S0100-40422005000500029. Acesso em: 19 de outubro de 2023.weby/up/67/o/semi2011\_Fernanda\_Castejon\_1c.pdf. Acesso em: 18 de outubro de 2023.

SZOLAJSKA, E *et al.* Poneratoxin, a neurotoxin from ant venom: Structure and expression in insect cells and construction of a bio-insecticide. **European Journal of Biochemistry,** v. 271, issue 11, p.2127-2136, maio, 2004. Disponível em: https://febs.onlinelibrary.wiley.com/doi/10.1111/j.1432-1033.2004.04128.x. Acesso em: 15 de novembro de 2023.

TEZOTTO-ULIANA, J. Métodos de redução da adstringência de pedúnculos de caju in natura e seus efeitos sobre a qualidade físico-química, nutricional e aromática. **Tese** (Doutorado em ciência - fitotecnia). Universidade de São Paulo, Piracicaba, p.11-14. 2017. Disponível em: https://teses.usp.br/teses/disponiveis/11/11136/tde-29092017-

153306/publico/Jaqueline\_Visioni\_Tezotto\_Uliana.pdf. Acesso em 17 de outubro de 2023.

#### **FIGURAS**

**Figura 1** - A little Satere- Mawe boy during an initiation ceremony. Medium, 2021. Disponível em: https://medium.com/the-story-in-history/the-culture-were-boys-must-endure-getting-stung-by-bullet-ants-1a2d966f31f9. Acesso: 14 de abril de 2024.

**Figura 2** - Luva do Ritual Waumat com formigas tucandeiras. Medium, 2021. Disponível em: https://medium.com/the-story-in-history/the-culture-were-boys-must-endure-getting-stung-by-bullet-ants-1a2d966f31f9. Acesso em: 14 de abril de 2024.

**Figura 3** - PESANTEZ, J.A. *Paraponera clavata.* BioDiversity4All. Disponível em: https://www.biodiversity4all.org/taxa/67987-Paraponera. Acesso em: 11 de outubro de 2023.

**Figura 4** - PIESTER, G. Poneratoxin inserting into the plasma membrane. Wikipedia, 2017. Disponível em: https://en.wikipedia.org/wiki/Poneratoxin#/media/File:Poneratoxin\_1.tif. Acesso em: 16 de novembro de 2023.

**Figura 5 -** Poneratoxin schematic. Wikipedia, 2017. Disponível em: https://en.wikipedia.org/wiki/Poneratoxin#/media/File:Poneratoxin\_schematic.tif Acesso em: 16 de novembro de 2023.